

СИНТЕЗ, ПРОТИВОКОРРОЗИОННАЯ И БИОЦИДНАЯ АКТИВНОСТЬ ПРЕДСТАВЛЕННЫХ ТРИАЗОЛОАЗЕПИНА

*Вчесній співзакупник роботи члену колегії Т.Г.Шевченка
А.М.Демченко, К.Г.Назаренко, А.П.Макей, С.В.Приходько,
ЗАТАЛЬНИЙ, І.Н.Курмаєва, А.П.Третяк
ВІДДІЛ ОФІСІСУ (Василько Г.С.)
Чернігівський державний педагогічний університет ім. Т.Г.Шевченко, Україна
Інститут органічної хімії НАН України, Київ*

Поступило в Редакцию 19 февраля 2003 г.; после исправления в марте 2004 г.

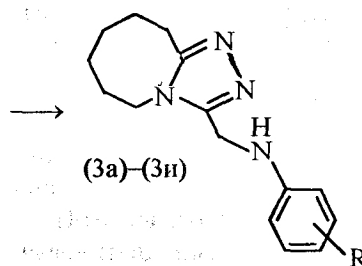
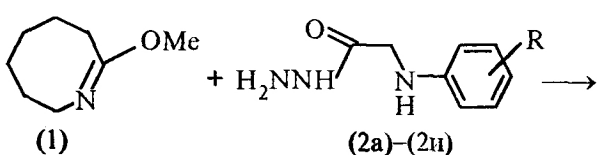
Исследовано влияние синтезированных N-арил-N-(6,7,8,9-тетрагидро-5H-[1,2,4]триазоло[4,3-а]азепин-3-илметил)аминов на коррозию стали 45 в кислой среде и их биоцидное действие на сульфатредуцирующие бактерии накопительных культур.

Среди органических азотсодержащих гетероциклических соединений имеются ингибиторы кислотной коррозии стали [1] и биоциды [2, 3]. Нами предпринята попытка синтеза веществ, обладающих такими свойствами в комплексе. Это открывает новые возможности при создании ингибитирующих композиций, лакокрасочных материалов, защитных составов для металлов, эксплуатируемых в условиях действия нескольких коррозионных факторов.

Цель настоящей работы – изучить ингибитирующую активность N-арил-N-(6,7,8,9-тетрагидро-5H-[1,2,4]триазоло[4,3-а]азепин-3-илметил)аминов в кислой хлоридной среде, а также оценить биоцидное действие этих соединений на сульфатредуцирующие бактерии, являющиеся основным фактором микробноиндуцируемой коррозии.

Экспериментальная часть

N-арил-N-(6,7,8,9-тетрагидро-5H-[1,2,4]триазоло[4,3-а]азепин-3-илметил)амины (3а)–(3и) получены путем взаимодействия 7-метокси-3,4,5,6-тетрагидро-2Н-азепина с гидразидами замещенных N-ариламиноуксусных кислот [4, 5]. К раствору 0.01 моль соответствующего гидразида (2а)–(2и) в 30 мл 2-пропанола добавляли 0.011 моль соединения (1) и кипятили 2 ч, контролируя полноту превращения хроматографически. После охлаждения реакционной смеси выпавший осадок отфильтровывали, промывали 2-пропанолом, сушили, перекристаллизовывали из 2-пропанола. Характеристики полученных соединений представлены в табл. 1.



где R – H (а), 4-F (б), 4-Cl (в), 4-I (г), 4-CH₃O (д), 2,4-(CH₃)₂ (е), 4-CH₃ (ж), 2-CH₃ (з), 3-CH₃ (и).

Состав и структура полученных веществ доказаны методом ЯМР ¹Н спектроскопии. Спектры синтезированных соединений записаны в ДМСО-d₆ на приборе Bruker-300 с внутренним стандартом ТМС. Контроль за ходом реакции и индивидуальностью полученных соединений осуществляли с помощью ТСХ на пластинах Silufol UV-254 в системе хлороформ:метанол=9:1.

Ингибитирующее действие синтезированных соединений изучали электрохимическим методом (потенциостат П-5845) [6]. Коррозионная среда – 1 м. HCl, температура 293 К. Поляризационные кривые (80 мВ × × мин⁻¹) торцевого электрода из стали 45 снимали от стационарного потенциала свободной коррозии φ_c в стеклянной трехэлектродной ячейке с разделенными катодным и анодным пространствами. Электрод сравнения – хлорсеребряный, вспомогательный – платиновый. Значения потенциалов пересчитывали на стандартную водородную шкалу. Концентрация соединений (3а)–(3и) 2 ммол·л⁻¹. По поляризационным кривым определяли потенциал и ток свободной коррозии φ_c, I_c, катодного φ_k, I_k и анодного φ_a, I_a парциальных процессов. Проводили расчет констант a_k, a_a, b_k, b_a по уравнению Тафеля, коэффициентов торможения электрохимической коррозии γ_c, катодного γ_k и анодного γ_a процессов, защитных эффектов Z_c, Z_k и Z_a, величины смещения адсорбционного потенциала ΔΨ[°] [1].

Таблица 1

Характеристики N-арил-N-(6,7,8,9-тетрагидро-5H-[1,2,4]триазоло[4,3-a]азепин-3-илметил)аминов

Соединение	Выход, %	$T_{\text{ппр}}$, °C	Найдено, %		Формула	Вычислено, %	
			N	Hlg		N	Hlg
(3а)	78	199–200	23.38	—	$C_{14}H_{18}N_4$	23.14	—
(3б)	76	182–183	21.20	7.02	$C_{14}H_{17}FN_4$	21.05	7.14
(3в)	81	193–195	20.46	12.95	$C_{14}H_{17}ClN_4$	20.25	12.84
(3г)	72	214–216	15.04	34.65	$C_{14}H_{17}InN_4$	15.22	34.51
(3д)	77	175–177	20.76	—	$C_{15}H_{20}N_4O$	20.58	—
(3е)	76	156–158	20.49	—	$C_{16}H_{22}N_4$	20.74	—
(3ж)	77	184–186	21.98	—	$C_{15}H_{20}N_4$	21.88	—
(3з)	64	163–164	21.64	—	$C_{15}H_{20}N_4$	21.88	—
(3и)	70	201–203	22.05	—	$C_{15}H_{20}N_4$	21.88	—

Таблица 2

Электрохимические параметры процесса коррозии стали 45 в 1 м. HCl

Соединение	Потенциал, В			Плотность тока, А·м ⁻²			Константы уравнения Тафеля, В				$\Delta\Psi^{\prime\prime}$, В
	$-\Phi_c$	$-\Phi_a$	j_k	I_c	I_a	I_k	a_k	a_a	b_k	b_a	
(3а)	0.235	0.190	0.365	3.16	50.12	50.12	0.869	-0.002	0.18	0.06	+0.042
(3б)	0.225	0.160	0.410	1.42	14.13	30.20	0.914	+0.008	0.18	0.06	+0.021
(3в)	0.230	0.160	0.420	1.26	14.13	25.12	0.929	+0.008	0.18	0.06	+0.169
(3г)	0.195	0.090	0.490	0.33	1.32	10.00	0.994	+0.078	0.18	0.06	+0.126
(3д)	0.205	0.110	0.465	0.53	2.52	14.45	0.969	+0.058	0.18	0.06	+0.104
(3е)	0.210	0.145	0.380	1.74	8.92	44.67	0.884	+0.023	0.18	0.06	+0.042
(3ж)	0.225	0.160	0.410	1.42	14.13	30.20	0.914	+0.008	0.18	0.06	+0.042
(3з)	0.225	0.130	0.500	0.48	5.00	9.13	1.00	+0.038	0.18	0.06	+0.042
(3и)	0.219	0.120	0.490	0.52	4.17	10.96	0.994	+0.048	0.18	0.06	+0.067
(3и)	0.225	0.138	0.470	0.70	6.30	13.18	0.974	+0.03	0.18	0.06	+0.042

Кинетику адсорбции изучали по данным спада катодного тока (на 0.6 В отрицательнее стационарного) при введении ингибитора в раствор фонда. Для выявления наиболее вероятного механизма ингибирующего действия рассчитывали коэффициент корреляции r при обработке данных в координатах $\lg I_f - f(t)$, $\Delta I_f - \lg t$, $\lg \Delta I_f - f(\lg t)$, $\lg \lg I_f / I_{\infty} - f(t)$, $\lg \gamma_f - f(\lg t)$, $\lg \lg \gamma_f - f(\lg t)$ [1].

Антибактериальное действие изучали методом диффузии исследуемых веществ в агар с использованием бумажных дисков, которые были пропитаны 0.1, 0.2 и 2%-ными спиртовыми растворами соединений (3а)–(3и). Биоцидные свойства оценивали по диаметру зоны угнетения роста микроорганизмов [7]. В качестве тест-культуры использовали ассоциацию сульфатредуцирующих бактерий (СРБ) на среде Постгей-

та «В», выделенную из ферросферы корродирующей стали.

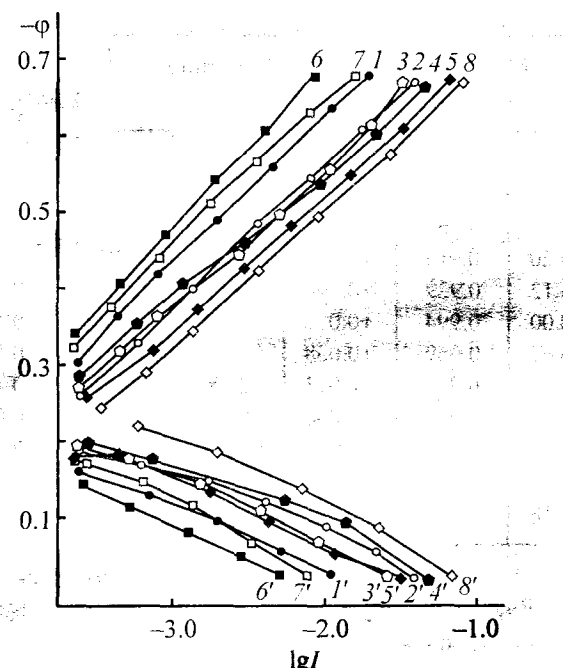
Статистическую обработку экспериментальных данных проводили для уровня значимости 0.95, повторность трехкратная [8].

Результаты исследования противокоррозионных свойств синтезированных соединений (3а)–(3и) представлены в табл. 2–4 и на рисунке. В 1 м. HCl с добавкой ингибитора потенциал свободной электрохимической коррозии стали 45 на 5–40 мВ выше по сравнению с неингибирированным раствором (табл. 2). Это свидетельствует о преимущественном торможении анодной реакции растворения металла при Φ_c в присутствии ингибитора. Исследованные соединения (3а)–(3и) способствуют уменьшению тока свободной коррозии в 1.8–9.6 раза, анодного и катодного пар-

Таблица 3

Коэффициенты торможения и защитный эффект коррозионного процесса стали 45 в 1 м. HCl

Соединение	Коэффициенты торможения			Заданный эффект, %		
	γ_c	γ_a	γ_k	Z_c	Z_a	Z_k
(3а)	2.2	3.6	1.7	55.0	72.0	86.0
(3б)	2.5	3.6	2.0	60.0	72.0	50.0
(3в)	9.6	38.0	5.0	89.5	97.0	80.0
(3г)	6.0	20.0	3.5	83.3	95.0	71.4
(3д)	1.8	5.6	1.1	44.0	82.0	9.0
(3е)	2.2	3.6	1.7	55.0	72.0	86.0
(3ж)	6.6	10.0	5.5	84.8	97.0	80.0
(3з)	6.1	12.0	4.6	83.6	78.2	91.6
(3и)	4.5	8.0	3.8	77.7	73.7	87.5



Поляризационные катодные (1–8) и анодные (1'–8') кривые стали 45 в 1 м. HCl с добавкой ингибитора.

Концентрация ингибитора 2 ммоль·л⁻¹.

φ – потенциал (В), I – плотность тока (А·м⁻²).

Ингибитор: 1, 1' – (3г); 2, 2' – (3б); 3, 3' – (3е); 4, 4' – (3а); 5, 5' – (3д); 6, 6' – (3в); 7, 7' – (3ж); 8, 8' – без ингибитора.

циальных процессов в 3.6–38.0 и 1.1–5.5 раза соответственно. Достаточно высокие защитные свойства проявляют соединение (3в) с атомом хлора в *пара*-положении бензольного кольца ($\sigma_n=+0.227$). Коэффициенты торможения γ_c , γ_k и γ_a соединения (3в), большие, чем у незамещенного соединения (3а), в 4.3, 2.9 и 10.6 раза соответственно (табл. 3). Наименьшие за-

Таблица 4

Результаты корреляционного анализа данных спада катодного тока

Координаты	Коэффициент корреляции, рассчитанный по методу Пирсона [8]				
	(3а)	(3б)	(3г)	(3д)	(3е)
$lgI-f(\tau)$	-0.96	-0.96	-0.95	-0.97	-0.94
$\Delta f-f(lgt)$	0.29	-0.49	-0.81	-0.69	-0.60
$lg\Delta f-f(lgt)$	0.29	-0.56	-0.87	-0.61	-0.66
$lg\lg I/I_\infty - f(\tau)$	-0.97	-0.97	-0.97	-0.96	-0.95
$lg\gamma-f(lgt)$	-0.19	-0.55	-0.76	-0.74	-0.59
$lg\lg\gamma-f(lgt)$	-0.41	-0.60	-0.75	-0.67	-0.65

щитные свойства проявляет вещество (3д) с заместителем OCH_3 ($\sigma_n=-0.268$).

Электрохимические параметры сопряженных электродных процессов изменяются при введении ингибиторов в 1 м. HCl следующим образом: константа уравнения Тафеля a_k увеличивается на 15–131, a_a – на 30–100 мВ, что согласуется со значениями коэффициентов торможения коррозионного процесса (табл. 3). Перенапряжение электродных реакций возрастает в результате увеличения адсорбционного потенциала Ψ' на 21–169 мВ.

Взаимодействие при адсорбции в кислой хлоридной среде протонированных молекул (3а)–(3и) с отрицательно заряженной поверхностью металла носит электростатический характер. При этом значение имеет величина заряда на адсорбционных центрах сорбата – атомах азота (аминном, триазольного цикла).

Природа заместителя в *пара*-положении бензольного ядра наиболее существенно влияет на величину электронной плотности на аминном атоме азота в молекулах (3а)–(3и). Снижение электронной плотности на этом атоме при введении электроноакцепторных заместителей в бензольное кольцо способствует увеличению способности ингибиторов адсорбироваться на поверхности металла, поэтому наиболее сильные защитные свойства выявлены у соединения (3в) с атомом хлора в качестве заместителя.

Равновесие при адсорбции соединений (3а)–(3и) на отрицательно поляризованной поверхности металла устанавливается на протяжении 20–25 с. Согласно данным работы [1] в случае преобладания физической адсорбции следует ожидать энергетического эффекта торможения. Однако коэффициенты корреляции r , полученные при обработке данных спада катодного тока (табл. 4), в координатах $lgI-f(\tau)$ и

$\lg I/I_{\infty} - f(t)$ достоверно не различаются, что свидетельствует о смешанном энергетическом и адсорбционно-блокировочном механизме ингибиции на равномерно однородной поверхности металла. Предположение о смешанном механизме ингибиции подтверждается отсутствием четкой корреляции между противокоррозионными свойствами исследованных соединений и величиной смещения адсорбционного потенциала.

Для ингибиторов коррозии важным свойством, позволяющим расширить аспект их использования, является биоцидное действие на СРБ – основной фактор микробноиндуцируемой коррозии. Для проявления биоцидного действия вещества должны адсорбироваться на отрицательно заряженной поверхности бактериальной клетки, проникнуть в нее и нарушить процессы метаболизма. Слабые биоцидные свойства по отношению к железовосстанавливающим бактериям характерны для всех исследованных соединений (3а)–(3и) [9].

Биоцидное действие по отношению к СРБ в ряду ингибиторов (3а)–(3и) выявлено только при наличии метильного заместителя. При введении данного заместителя в *ортоположение* [соединение (3з)] диаметр зоны угнетения роста сульфатредуцирующих бактерий составляет 21.0, 28.0, 42.7 мм, а при введении в *метаположение* [соединение (3и)] – 25.7, 37.3, 49.3 мм при концентрации вещества в растворе 0.1, 0.2, 2 мас% соответственно. Установлено, что *пара*-замещенный продукт (3ж) подавляет рост СРБ практически полностью. Таким образом, в ряду синтезированных соединений (3а)–(3и) положение метильного заместителя в ароматическом цикле существенно влияет на биоцидное действие, усиливая его в ряду *ортоположение* – *метаположение*. Введение двух заместителей CH_3 в положения 2 и 4 бензольного кольца [соединение (3е)]

снижает биоцидное действие на СРБ. Диаметр зон угнетения роста СРБ при концентрации вещества в растворе 0.1, 0.2 и 2 мас% равен 10.0, 10.0 и 20.0 мм соответственно.

Выводы

Синтезирован ряд N-арил-N-(6,7,8,9-тетрагидро-5Н-[1,2,4]триазоло[4,3-*a*]азепин-3-илметил)аминов, проявляющих свойства ингибиторов кислотной коррозии стали и обладающих биоцидным действием по отношению к сульфатредуцирующим бактериям, которое усиливается для соединений с метильным заместителем в бензольном ядре в ряду *ортоположение* – *метаположение*.

Список литературы

- [1] Решетников С.М. Ингибиторы кислотной коррозии. Л.: Химия, 1986. 144 с.
- [2] Погребова И., Козлова И., Пуриш Л., Янцевич К. // Фізико-хімічна механіка матеріалів: Спец. вип. 2000. Т. 2. № 1. С. 479–481.
- [3] Романенко И.В. // Фізико-хімічна механіка матеріалів. Спец. вип. 2000. Т. 2. № 1. С. 513–515.
- [4] Shridhar O.R., Jogibhurta M., Joshi P.P., Reddy P. // Indian J. Chem. 1981. V. 20B(2). P. 132–140.
- [5] Глушков Р.Г., Граник В.Г. // Успехи химии. 1969. Вып. 11. С. 1998–2006.
- [6] Фокин М.Н., Жигалова К.А. Методы коррозионных испытаний металлов / Под ред. Я.М. Колотыркина. М.: Металлургия, 1986. 80 с.
- [7] Руководство к практическим занятиям по микробиологии / Под ред. Н.С. Егорова М.: Изд-во МГУ, 1983. 215 с.
- [8] Лакин Г.Ф. Биометрия. М.: Высш. шк., 1990. 352 с.
- [9] Третяк А.П., Смыкун Н.В., Приходько С.В. и др. // Вісник Одеського національного університету. 2001. Т. 6. Вып. 4. С. 313–316.